

# KERNFYSICA

SAMENVATTING<sup>(1)</sup>  
DOOR JORIS  
VAN HOUTVEN

## H1 Basic Concepts

- Atoomnummer  $Z$ : aantal protonen in de kern
- Massagetel  $A$ : round to nearest integer {Nucleus /  $u$ }
- Atomaire eenheidsmassa  $u$ :  $1/12$  atoommassa van  $^{12}\text{C}$
- Neutrongetal  $N$ : aantal neutronen in de kern
- Te bepalen kern eigenschappen (na identificatie:  $Z$  gekend): massa, stral, relatieve abondantie (stabile kerren), halflevensduur en vervalwijzen (radioactieve kerren), reactiemodi en werkzame doordringbaarheid, spin, magnetisch dipool- en elektrisch quadrupool moment, geëxciteerde toestanden, bindingsenergie, angular moment, polariteit.
- Nucleaire tijdschalen hebben een enorm bereik:
  - $^{5}\text{He}$ -en  $^{8}\text{Be}$ -verval  $\sim 10^{-20} \text{ s}$  (strong force)
  - $\gamma$ -verval  $\sim 10^{-12} \text{ s}$  (e.m.)
  - $\alpha$ - en  $\beta$ -verval  $> 10^0 \text{ s}$  (e.m. resp. weak)
- $C^2 = 931,502 \text{ MeV/u}$

## H3 Nuclear properties

### H.1 Nucleon radius

- met precies gedefinieerd  $\rightarrow$  operationele definitie:
  - gemiddelde straal: densiteit is de helft v/d centrale waarde skin thickness: afstand waarover dichtheid  $\rho_0$  moet  $\rightarrow$   $r_{\text{mean}}$
- bepalen op 2 manieren:
  - via de loodingsverdeling
  - via de materieverdeling.

### Distribution of nuclear charge

- bundels  $e^-$  schieten op kern en naan de hielkverdeling v/d gescatteerde  $e^-$  kijken.  $\lambda \leq$  afmeting kern  $\approx 10^{-15} \text{ m}$  nodig.
- diffraction van schip met diem =  $D$ : eerste minimum op  $\theta = \sin^{-1}(r_{\text{mean}}/D)$   
Voor kerren zijn deze minima f om dat de rond met precies gedefinieerd is.

- Roms op scattering met  $\Psi_{e^-}(k_i) \rightarrow \Psi_{e^-}(k_f)$   
 $\psi \sim F(q) = \int e^{iq \cdot r} V(r) dr$  met  $\vec{q} = \vec{k}_i - \vec{k}_f$ .

- inverse Fouriertransformatie van  $F(q)$  geeft ons de loodingsverdeling  $\rho(r)$ , en deze blijkt ongeveer constant te liggen:  $\frac{A}{\pi R^3} \approx \text{const} \Rightarrow R = R_0 A^{1/3}$  met  $R_0 \approx 1,2 \text{ fm} = 1,2 \cdot 10^{-15} \text{ m}$

- alternatieve berekening met als model  $e^-$ -scattering op een uniform geladen bol  $\Rightarrow R_0 = 1,23 \text{ fm}$

Een kern is geen puntlading, maar eerder sferisch. De potentiaal  $V(r)$  groet dus niet meer oneindig en  $e^-$  kunnen in de kern binnentrekken, waardoor de potentiaal wijzigt.

1s orbitals  
binnen de  
kern

2  
2  
2  
2  
MET

3  
2  
1

3  
2  
2  
2  
2  
1

- Neem ~~o~~<sup>2</sup> als model een uniform geladen bol. De gravitatiepotentiaal  $V'(r)$  is ook te interpreteren als een verschil in energie  $\Delta E = E^1 - E = \langle V' \rangle - \langle V \rangle = \frac{2}{5} \frac{Z^4 e^2}{4\pi\epsilon_0} \frac{R^2}{a_0^3}$ .  $a_0 = \text{Bohr radius}$

ten opzichte van de energie in het puntladingenmodel

Jaarlijks maan punt-kernen bestaan niet dus ~~is dat~~  $\Delta E$  te ~~te~~ meten, moeten we  $E'$  experimenteel bepalen (via bv. K X-rays), maar daarvoor kennen we de hogere orbitals niet goed genoeg.

- Oplossing: aannemen  $\Delta E \sim R^{12} - R^2 = R_0^2 (A^{12/3} - A^{2/3})$   
Zouden we met K X-ray diffraactie op verschillende kerntypen, wel een behoudbare waarde voor  $\Delta E_K$  (K X-ray isotopic shift) kunnen bekomen, (fig 3.6 p 52.)  
~~We vinden  $R = 1,23 \text{ fm}$ , zoals eerder gesaid.~~  
We moeten echter wel het 1s-elektron relativistisch behandelen. Dan vinden we  $R_0 = 1,2 \text{ fm}$

- Analog met de vorige oplossing kunnen we ook nu een  $\Delta E$  van optische overgangen kijken

- Om een behoudbare waarde voor  $R_0$  te krijgen kan  $\Delta E \sim \frac{1}{a_0^3}$  best groot zijn. Dit is niet echt het geval, tenzij we muonische atomen gebruiken;  $a_0^{\mu} = \frac{1}{207} a_0^e$ . We vinden nu  $R_0 \approx 1,25 \text{ fm}$

~~Fixer te berekenen op een stukje (tabel pagina 65)~~

~~met  $Z^2 V' \propto 1/a_0^3$~~   
- We kunnen ook kijken na en het verschil in Coulomb-energie, voor een uniforme geladen bol waarbij we een neutron uitwisselen voor een proton dan vice-versa:  $\Delta E_C = \frac{3}{5} \frac{1}{4\pi\epsilon_0} \cdot \frac{e^2 A^{2/3}}{R_0}$ .  $\Rightarrow R_0 = 1,22 \text{ fm}$

- Men moet er wel voor zorgen dat het omgelette nucleon in exact hetzelfde orbitaal terechtkomt  $\rightarrow$  mirror nuclei meten via  $\beta$ -decay of kernreacties geïnspireerd met  $p^+$ -strahlung

- Distribution of nuclear matter ~~(tabel resultaten niet)~~

- experimenten beïnvloed door de sterke kernkracht besorgen ons een model voor de gedrukte vld kern (nu worden ook neutronen volledig betrachten itc. bij 2-m experimenten).

$\alpha$ -scattering op een kern: Sodra het  $\alpha$ -deeltje op een afstand  $r$  van de kern komt, schiet de sterke kracht in actie en zal de Rutherford-scatteringsformule niet meer gelden (fig 3.11 p 58)

- Boms op  $\alpha$ -vrije vld is ofwel de vld plaat waar de Coulomb-barrière zich bevindt in Kernstraal. Vergelijk de theoretische waarden met experimentele om  $R$  te bepalen

- de pionen in de  $\pi$ -mesonenwolk rond kern zitten ook in "orbitalen" en senden  $\pi$ -mesic X-rays uit bij een overgang. Als de pionen over lopen met de kern, kunnen pionen ~~geabsorbeerd~~ worden door de kern, zodat er minder overgangen vóóruit lage niveaus gebeuren:  $\pi$ -meson disappearance rate  $\sim$  Kernstraal.

- Selfde resultaten:  $R_0 \approx 1,2 \text{ fm} \Rightarrow$  protonen en neutronen gelijk grote kern!!

## - 2 Mass and abundance of nuclides

- Bindingsenergie (totale rustenergie)  $E = mc^2 \rightarrow$  maakt massa nucléaire
- massometring: massa spectrograaf, ionenval
- isotopen en isotonen (gelijke massa) schillen: isotopen separator, ionenval, lager ionisatie
- door in een massaspectrometer (fig 3.13 p61) ook het aantal events op straaln bij te houden, kan men de abundanties v/d isotopen begrijpen.
- lager ionisatie (isotopic separation): mengelbomen v.  $e^-$ -verschillen lichtjes voor isotopen: met een precieze lasser een  $e^-$  van één soort isotop selecteren, daarna wegslaan met een lasser met iets breedere spectrum (geselecteerde banen enden continu dom discrete) en overblijvend ion afbrengen in elektrisch veld.

## - 3 Nuclear binding energy

$$\text{v/d kern } m(^A X) c^2 - z m_e c^2 \text{ uitwendbaar}$$

- massa energie / rustenergie  $\nu$ : atoomne ruste - ruste v/d  $e^-$  (= binding Energie)

$$B = \{z m_p + N m_n - [m(^A X) - z m_e]\} c^2 > 0$$

$B > 0$  voor kerne lichter dan  $^{56}\text{Fe}$ ,  $B < 0$  voor kerne zwaarder dan  $^{56}\text{Fe}$

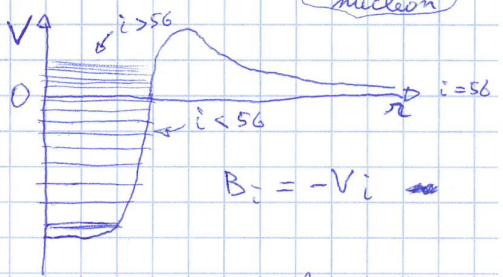
$$B_{\text{p}} = \{m(^{A-1}_Z X_N) - m(^A_2 X_N) + m_p\} c^2$$

$$B_{\text{n}} = \{m(^{A-1}_Z X_{N-1}) - m(^A_2 X_N) + m_n\} c^2$$

$$S_{\text{p}} = \{m(^{A-1}_Z X_N) - m(^A_2 X_N) + m_p\} c^2$$

$$S_{\text{n}} = \{m(^{A-1}_Z X_{N-1}) - m(^A_2 X_N) + m_n\} c^2$$

- gemiddelde bindingsenergie per nucleon  $B/A$  gaat nu benaderen (fig 3.16 p67) vooraf  $^{56}\text{Fe}$ : achter nucleonen binden (vooral  $\alpha$ ) kost nu energie:  $B_i < 0$  voor  $i > 56$ , maar natuurlijk blijft  $\sum B_i = B > 0$ . Ook in de kern is er een schillensmodel: zwaarder de schillendichtheid hoger wordt nuarmoerder je verder van de kern sit



Tekening: voor zwere kerne begin je de schillen met  $V > 0$  en dus  $B < 0$  te vullen. Dit is mogelijk slankere de Coulomb-barrière!

$$\text{verklaring v/d } B/A \text{- grafiek via } V = \frac{1}{r} e^2 \cdot \frac{1}{4\pi \epsilon_0} \cdot \frac{Z(Z-1)}{r^2} = \frac{1}{r} e^2 \cdot \frac{Z(Z-1)}{4\pi \epsilon_0 r^2} = \frac{1}{r} e^2 \cdot \frac{Z(Z-1)}{4\pi \epsilon_0 A^{2/3}}$$

$\alpha_v A$ : const term of volume term: nucleon interactie enkel met nabijste buren  
 $\alpha_s A^{2/3}$ : oppervlaksterm: hier geldt  $\alpha_s A$  niet helemaal meer. (onder  $A(A-1)$ -term)

$\alpha_c Z(Z-1)/A^{1/3}$ : Coulomb repulsion term

$\alpha_{sym} (A-2Z)^2/A$ : symmetry term: als  $Z=N=\frac{1}{2}A$  levert deze geen negatieve energie

$\delta = \pm \alpha_p A^{-3/4}$ : pairing term: + voor  $Z$  en  $N$  even: allenweil  $\alpha$ -parten aan  $n$ -parten is voordeilig; - voor  $Z$  en  $N$  oneven: 1 ongepaard  $\alpha$  en 1 ongepaard  $n$  is voordeilig: men moet meestal liever één v/d 2 omzetten om toch nuance kunnen vormen

- de constante  $\alpha_s$ 's worden empirisch bepaald. Uit het resultaat leidt men de semi-empirische massaformule af:

$$M(Z, A) = Z m_p + N m_n - B(Z, A) / c^2$$

- voor constante  $A$  levert dit curves  $M(Z) c^2 \sim Z^2$  op (hoe lager hoe voordelijker) (fig 3.18 p69). Merk op dat als  $A = \text{even}$ , er een shift is tussen de  $Z, N = \text{even}$  en  $Z, N = \text{oneven}$  curves, zoals voorgedaan  $\Rightarrow Z, N = \text{oneven}$  kom in 2 richtingen vervallen ( $^{53}\text{I}$ ); ook is double B-decay mogelijk

## 4 Nuclear angular momentum and parity

- angular momentum  $\vec{l}$   
en spin  $\vec{s}$ :

$$m_l = \{0, \pm 1, \pm 2, \dots, \pm l\}$$

$$m_s = \{\pm \frac{1}{2}\}$$

$$|\vec{s}| = s; |\vec{l}| = l$$

$$\langle l^2 \rangle = \hbar^2 |\vec{l}| (|\vec{l}| + 1)$$

$$\langle l_z \rangle = \hbar m_l$$

$$\langle s^2 \rangle = \hbar^2 |\vec{s}| (|\vec{s}| + 1)$$

$$\langle s_z \rangle = \hbar m_s$$

In consistentie / beschouwingen op  $P_{7/2}^{3/2}$   
vallen de verschillende  
mischien duidelijker  
in schaak

- kern gedraagt zich alsof het een één-voedige entiteit met angular moment  $\vec{I}$  is, ( $\vec{I} = \vec{l} + \vec{s}$ ) ook wel "nuclear spin" genaamd  
 $\langle I^2 \rangle = \hbar^2 I(I+1)$ ;  $I_z = m_I$  met  $m_I = -I, \dots, +I$  (of  $I$  nu integraal moet)
- De koppeling tussen 2 nucleonen met spin up en down is echter zo sterk dat in even-A kernen  $\vec{s}$  negeert ( $\vec{s} \approx \vec{0}$ )  $\rightarrow \vec{I}$  is integer of als  $2 \text{ odd} + N \text{ odd} = A \text{ even}$ :  $\vec{I} = \vec{j}_1 + \vec{j}_2 \rightarrow \vec{I}$  is (nog steeds) integer
- in odd-A kernen schiet er echter één nucleon over, en dit zou dom alle kenmerkingschakken beprolen:  $I = I_z = j = l + s$   $\rightarrow \vec{I}$  is half integer dus soms  $I = j$ , maar soms ook  $I = j_1 + j_2$ , of zelfs  $I = j_1$  one +  $j_2$  antieke
- de  $s$ -substates kunnen dus niet oversplitsen (behalve één bij odd-A) maar de  $l$ -substates wel:  $2I+1$  degeneracy (even-A:  $\vec{I} = \vec{l}$ )
- parity: even ( $\pi = +$ ) of odd ( $\pi = -$ ).  
koppelen:  $\pi = \pi_1 \pi_2 \pi_3 \dots \pi_A$   
heersp. + parity:  $I^\pi$  (beiden in één notatie)

## 5 Nuclear electromagnetic moments

- de sterke kernkracht bewerkstelligt de verdeling en beweging van nucleonen, die we kunnen bepalen via de e.m. interactie
- We kunnen de effecten immers samenstellen met termen uit de elektrische ( $\rightarrow$  ladingsverdeling) en magnetische ( $\rightarrow$  stroomverdeling) multipoolexpansies: monopool  $\approx \frac{1}{r^2}$ , dipool  $\approx \frac{1}{r^3}$ , etc.
- kern is geneigd simple, symmetrische vorm aan te nemen  $\rightarrow$  enkel de lagere orde termen nodig.
- parity van elektrische momenten:  $(-1)^L$   $L = \text{orde}$   
magnetische  $(-1)^{L+1}$
- verwachtingswaarde v.e. bepaald moment  $\Theta$ :  $\int \psi^* \Theta \psi \, dr$   
 $\rightarrow f = i$ : statische multipoolmomenten:  $\pi = + : M_1, E_2, \dots$   
 $\rightarrow f \neq i$ : dynamische  $\pi = + : M_1, E_2, M_3, \dots$   
 $\pi = - : E_1, M_2, E_3, \dots$
- deexcitatie van kerntoestanden door emissie van foton.  
vraag: welke multipoel is resantoordeelbaar voor de straling?  
vb:  $3^- \rightarrow 1^+$ :  $\Delta I = - \Rightarrow E_1, M_2, E_3, M_4, \dots$   
koppeling van foton met kern.  $I_{\text{foton}}$   
 $\Delta I = 2 \Rightarrow 3^- + I_{\text{foton}} = 1^+$   
zodat  $1 = |3^- - I_{\text{foton}}|, \dots, |3^- + I_{\text{foton}}|$   
dus  $I_{\text{foton}} \geq 2$  nooit vaker  $M_2$
- magnetisch dipoolmoment  $\mu = \frac{e\hbar}{2m} l$ ; magneton  $\frac{e\hbar}{2m}$ .  
voor  $e^-$ : Bohr magneton  $\mu_B$ ; voor nucleonen:  $\mu_N$ ,  
met de gyromagnetische verhouding ( $g$ -factor):  $\mu = \mu_N g_e l$   $\begin{cases} g_e = 1 \\ g_e = 0 \end{cases}$
- Zowel bij  $e^-$  als bij  $p^+$  en  $n^0$  (hier o.w.v. spook substructuur) is er ook een intrinsiek magnetisch moment, met een spin  $g$ -factor:  
 $\mu = \frac{1}{2} g_S \mu_N$ . Voor  $e^-$ :  $g_S = 2$ . Voor  $p^+$ :  $g_S \approx 5,6$ . Voor  $n^0$ :  $g_S \approx -3,8$   
 $\rightarrow$  NIET-NUL!

- E2  $\rightarrow$
- elektrisch quadruopoolmoment  $Q = \int \psi^* (3r^2 - r^2) \psi \, dr$ . Symmetrisch:  $Q = 0$   
deeltje in  $xy$ -vlak (oblaat):  $Q \approx -\langle r^2 \rangle$ ; deeltje volgens 1-as (bolvat):  $Q \approx +2\langle r^2 \rangle$

"In nuclei, the pairing force follows the coupling of nucleons":  
 $T_1^2 + T_2^2 = 0$   
↳ short  $T_1$   
↳ short  $T_2$

voornamen een  
straling intrinsiek,  
ENKEL  $M_1, E_2, \dots$   
mogelijk!!!

"monomomering  
moments"  
( $E_0 = \text{coulomb}$ )

M1  $\rightarrow$

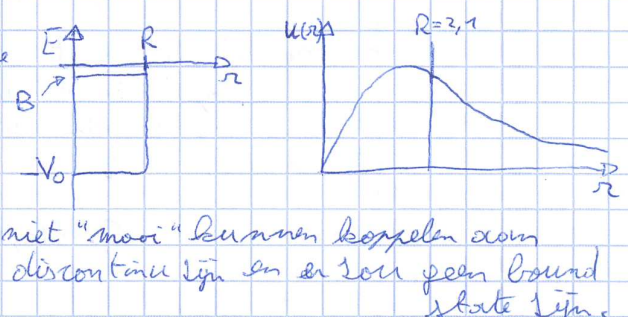
- magnetisch dipoolmoment  $\mu = \frac{e\hbar}{2m} l$ ; magneton  $\frac{e\hbar}{2m}$ .  
voor  $e^-$ : Bohr magneton  $\mu_B$ ; voor nucleonen:  $\mu_N$ ,  
met de gyromagnetische verhouding ( $g$ -factor):  $\mu = \mu_N g_e l$   $\begin{cases} g_e = 1 \\ g_e = 0 \end{cases}$
- Zowel bij  $e^-$  als bij  $p^+$  en  $n^0$  (hier o.w.v. spook substructuur) is er ook een intrinsiek magnetisch moment, met een spin  $g$ -factor:  
 $\mu = \frac{1}{2} g_S \mu_N$ . Voor  $e^-$ :  $g_S = 2$ . Voor  $p^+$ :  $g_S \approx 5,6$ . Voor  $n^0$ :  $g_S \approx -3,8$   
 $\rightarrow$  NIET-NUL!

## H4 Force between nucleons

- nucleon-nucleon interactie is afh. v/d onontlading opsluiting v/d spins  $\uparrow\downarrow$
- heeft een repulsive term en bijgevolg een extreum, zodat internucleon-afstand v/dt.
- heeft een noncentraal of tensor component, die orbital angular momentum niet behoudt

### 1) Deuteron

- ${}^2\text{H}$ -kern:  $p$  met  $n$ : zo zwak gebonden dat er geen geïcideerde toestanden zijn
- Bindingsenergie  $\approx 2,2 \text{ MeV}$ :  $B_A \approx 1,1 \text{ MeV}$  een zwak t.o.v. typische  $8 \text{ MeV}$
- massadubbel method:  $[m({}^2\text{H}_{12}) - m({}^2\text{D}_6)] \cdot c^2$
- fusie:  ${}^1\text{H} + n \rightarrow {}^2\text{H} + \gamma$
- splitsing:  $\gamma + {}^2\text{H} \rightarrow {}^1\text{H} + n$  (foto-dissociatie)  $B = E_\gamma$
- $V_0 \approx 35 \text{ MeV}$ , een typische reusohole.  $R \approx 2,1 \text{ fm}$ , ook redelijk.
- golffunctie ( $l=0$ )  $u(r)$  "turns over" binnen de grens  $r=R$ . Intuïtief dit niet zo waar, want de sinus niet "mooi" kunnen koppelen aan de exponentiële,  $du(r)/dr$  sou discontinu zijn en er zou geen bound state zijn.



### Spin en parity

- $\vec{I} = \vec{l} + \vec{s}_n + \vec{s}_p$  en de gemeten waarde is  $I = 1$ .
- Er zijn nu nog 4 mogelijkheden:  $s_n$  en  $s_p$  parallel met  $l = 0, 1, 2$  of  $s_n$  en  $s_p$  antiparallel met  $l = 1$ .
- Uit experiment weten we dat  $\pi = + = (-1)^l$  plus  $l = 0$  of  $l = 2$  en  $s_n$  en  $s_p$  zijn parallel.
- Magnetisch dipoolmoment: als  $l=0$  soal er geen bijdrage van de orbitalen zijn tot het magn. dip. moment en hebben we dus enkel de intrinsieke momenten:  $\mu = \mu_n + \mu_p$ . Dit blijkt experimenteel bijna te kloppen; we besluiten dat het deuteron 96%  $l=0$  en 4%  $l=2$  is.
- Elektrisch quadrupooolmoment: als  $l=0$  son  $Q=0$  en oppervlak is dit bijna het geval en besluiten we 96%  $l=0$  en 4%  $l=2$ .
- Dese goede overeenkomst moet als louter toeval beschouwd worden, want er is geen reden om te geloven dat de formules voor  $u$  van een vrij deeltje ook gelden in een atoomkern. Dese mixing is een sterk argument voor het bestaan van een noncentraal tensor-kanaal v/d sterke Bernhardt (I niet behouden).

### 2) Nucleon-nucleon scattering

- heel verschillend van nucleon-kern scattering waar vele nucleonen bij betrokken zijn
- inkomende vlakke golf, uitgaande sferische golf.
- square well potential  $\rightarrow$  scattering van  ${}^2\text{H}$ -kern.
- impactparameter is van de orde  $R \approx 1 \text{ fm} \Rightarrow$  corresponderende angular moment  $m \nu R = \ell \cdot l$ . Dan als  $m \nu R \ll \hbar \Rightarrow$  enkel  $l=0$  bijdrage, en ook is dan  $T \approx 20 \text{ MeV}$ . We beschrijven het gevall  $T < 20 \text{ MeV} \Leftrightarrow l=0$ .

## VLAKKE GOLVEN

- de explosie van scatteringprobleem kan te schrijven als  
 $u(r) = C \sin(k_2 r + \delta)$  met een faseverschuif  $\delta$  afkomstig van de coëfficiënten van de golffunctie.
- Als  $V_0 = 0 \Leftrightarrow \delta = 0$ ;  $V_0 < 0 \Leftrightarrow \delta > 0$  (attractief);  $V_0 > 0 \Leftrightarrow \delta < 0$  (repulsief).  
 M.e.w. de potentiaal valt door interactie in  $r < R$  een faseverschuif veroorzaakt in de hele golffunctie (ook  $r > R$ ). (zie fig. 4.4 p89)

- We doen de omgeving opnieuw aan voor een algemener domenome; we kunnen niet sferische golven maken voor vaste.
- $\Psi_{\text{incident}} = A e^{ik_2 r} \rightarrow \frac{A}{2ik_2} \left[ \frac{e^{ik_2 r}}{r} - \frac{e^{-ik_2 r}}{r} \right] \rightarrow$  is  $A e^{ik_2 r}$  in veldveld met reeds ontstaan gestopt bij  $r=0$  (zie 2.9)
- netto incoming  $(\Psi_{\text{voor}})$  brute outgoing  $\rightarrow$  incoming
- elastic scattering: het enige dat kan veranderen is de fase van de outgoing wave:  $\frac{e^{ik_2 r}}{r} \rightarrow \frac{e^{ik_2 r + \beta}}{r} \Rightarrow \Psi_{\text{out}} = \frac{A}{2ik_2} \left[ \frac{e^{ik_2 r + \beta}}{r} - \frac{e^{-ik_2 r}}{r} \right]$
- vergelijk dit met de vorige analyse waar men de sinusoplossing  $u(r) = C \sin(k_2 r + \delta)$  had. Je weet  $\Psi(r) = \frac{u(r)}{r}$  dus we vinden  $A = k_2 C e^{-i\delta}$  en  $\beta = 2\delta$ .
- Schema: 

$$u(r) = \begin{cases} r < 0 & u_0 \\ r > 0 & \end{cases}$$

$$\Psi(r) = \text{voor en} \\ \text{naar}, \\ \text{van } r > 0$$

$$(4.3) \quad u(r) = A \sin(k_2 r) \quad (4.3) \quad u(r) = C \sin(k_2 r + \delta) \cos(k_2 r)$$

$$\Psi_{\text{in}}(r) = \frac{A}{2ik_2} \left[ \frac{e^{ik_2 r}}{r} - \frac{e^{-ik_2 r}}{r} \right] \quad (4.20) \quad \Psi_{\text{out}}(r) = \frac{A}{2ik_2} \left[ \frac{e^{ik_2 r + \beta}}{r} - \frac{e^{-ik_2 r}}{r} \right]$$

~~rechte~~  
~~start van~~  
~~de botsing~~

$$\Psi_{\text{scattered}} = \Psi - \Psi_{\text{incident}} = \frac{A}{2ik_2} \left[ \frac{e^{ik_2 r + 2\delta}}{r} - \frac{e^{-ik_2 r}}{r} \right] - \frac{A}{2ik_2} \left[ \frac{e^{ik_2 r}}{r} - \frac{e^{-ik_2 r}}{r} \right]$$

$$= \frac{A}{2ik_2} (e^{2i\delta} - 1) \frac{e^{ik_2 r}}{r} \Rightarrow \text{scattered particles per unit area}$$

$$\sigma_{\text{scatt.}} = \frac{\pi |A|^2}{mk_2^2} \sin^2 \delta$$

$$\text{botsingsdoorsnede: } \sigma = \int_{\text{scattered}} \sigma_{\text{scatt.}} r^2 d\Omega$$

$$\int_{\text{incoming}} \text{met } \sigma_{\text{inc}} = \frac{\pi k_2 |A|^2}{m}$$

## ALGEMEEN

$$1b = 10^{-28} \text{ m}^2$$

- Gebruik deze formule op de beschrijving met vaste golven en vul  $\delta$  in, bekomen uit de transiente vgl. ~~fig.~~ (4.17 p88)  
 $k_2 \cot(k_2 R + \delta) = k_1 \cot(k_1 R)$  zodat  $\delta \approx 4,6 \text{ mb}$
- Dit levert voor "hoge" (doch  $\ll 20 \text{ MeV}$ ) energie, maar voor hoge  $E$  is  $\delta \approx 20,4 \text{ mb}$ . Dit komt omdat we de spin-koppeling niet in rekening brengen!  $S = \frac{1}{2} \vec{s}_1 + \frac{1}{2} \vec{s}_2$  heeft 4 mogelijkheden: ~~totale~~  
~~1 totale~~ ~~orientaties~~ 4 verschillende orientaties: 3 in de triplet state  $S = 1$ , en 1 in de singlet state  $S = 0$ . ( $S_1 = \pm \frac{1}{2}, 0, -\frac{1}{2}$ )
- Als deze toestanden verschillende  $\delta$  hebben, is  $\delta = \frac{3}{4} \delta_e + \frac{1}{4} \delta_o$ . Wij denken de  $S=1$  beschrijving: dus  $4,6 \text{ mb} = \delta_e$ . We weten dan (van hoge  $E$ )  $\delta = 20,4 \text{ mb} \Rightarrow \delta_o = 67,8 \text{ mb}$
- Dit is een groot verschil tussen de  $S=1$  en  $S=0$  staties!  
 $\Rightarrow$  nucleon force is spin dependent.

- Scattering length en effective range   
 $\sigma_{\text{low energy}}$

$$S=1: \vec{s}_1 \parallel \vec{s}_2$$

volgens  $r = \alpha S$  (7)  
 of in  $s$ -wave (1)

$$S=0: -\vec{s}_1 \parallel \vec{s}_2$$

enkel (7)  $\rightarrow$  (1)

- probleem: n-scattering op  $H_2$ : golffunctie voor n is berekend alleen afstand tussen de protonen:  $\Psi_1$  en  $\Psi_2$  voor scattering op proton 1 resp. 2 interfereren, dus  $\delta \sim |\Psi_1 + \Psi_2|^2$  en niet  $|\Psi_1|^2 + |\Psi_2|^2$

- Om dit probleem bij een lage  $E$  op te lossen voeren we de scattering length  $a$  in:  $\lim_{k \rightarrow 0} S = 4\pi a^2$ . In ons geval:  $a = -\lim_{k \rightarrow 0} \frac{\sin k}{k}$
- We zien dat  $S \rightarrow 0$  oploopt en eindigt  $\Rightarrow$  kan blijven  $\Rightarrow \sin S \approx S$  en we bekomen  $S_{\text{scatt.}} \approx -A \alpha \frac{e^{ikr}}{r} \Rightarrow$  [de berekende amplitude]
- fig. 4.7 pg 4:  $n\pi$ -triplet heeft  $\alpha > 0$ ;  $n\pi$ -singlet heeft  $\alpha < 0$ .  $\alpha_C = 6,1 \text{ fm}$   
 $\alpha_S = -23,7 \text{ fm}$   
 $\alpha_L = 5,3 \text{ fm}$   
 $\alpha_S = -23,5 \text{ fm}$
- slide 3.16 toont ongebonden  $\Leftrightarrow \alpha < 0$ ; gebonden  $\Leftrightarrow \alpha > 0$ .
- Als we scattering length willen verwijzenen naour energie (noch nog steeds  $< 20 \text{ MeV}$  dus  $k=0$ ) is  $\alpha \neq -\lim_{k \rightarrow 0} \frac{\sin k}{k}$  (met meer geduld) en nemen we in de praktijk een reeksentranslatie tot  $2^\circ$  ople;  $k \cot \delta = \frac{1}{\alpha} + \frac{1}{2} r_0 k^2$  (igv reële)
- We vinden  $\alpha_S \approx -23,7 \text{ fm}$   $\alpha_C \approx 5,4 \text{ fm}$   
 $r_{0S} \approx 2,73 \text{ fm}$   $r_{0C} \approx 1,7 \text{ fm}$
- Deze twee parameters  $\alpha$  en  $r_0$  zijn vragt. vld norm vld potentiaal!

### 3. $\pi p$ - en $\pi n$ -interacties

- belangrijke verschil met  $\mu n$ -scattering: identieke deeltjes ruilen posities met één resulterende wave function die antisymmetrisch is. We weten ook dat de golffunctie  $\psi_{\text{symm.}}$  is t.o.v. interchange of spatial coordinates, en omdat spatial  $\otimes$  spin = totaal moet de dus antisymmetrisch zijn t.o.v. interchanged of spin coords.  $\Rightarrow$  spin orientaties zijn verschillend  $\Rightarrow$  enkel singlet scattering!

- gem onderscheid tussen  $\pi^- p$  en  $\pi^+ p$ : scattering angles  $\theta$  en  $\pi - \theta$  toegewijzigd.

- dus: sterke interactie spin-afh.  $\Rightarrow$  enkel singlet interactie  $\Leftrightarrow$  enkel "repulsive" parse shift  $\Rightarrow$  geen dimensie of diproton!

$\pi p$

- differential cross section (4.43) pg 7: 1<sup>o</sup> term Rutherford verstrooiing; 2<sup>o</sup> term  $\pi$ -D lyshoje; 3<sup>o</sup> term ( $\Delta$  - D)-interferentie; 4<sup>o</sup> en 5<sup>o</sup> term interferentie tussen Coulomb- en nucleaire verstrooiing; 6<sup>o</sup> term zuiver nucleaire verstrooiing (zie pg 4.28, 4.30)

$\pi n$

- differential cross section voor  $\pi n$ -scattering:  
isolem, omraan zonder de Coulomb termen 3,4,5.  $\Rightarrow$   $\pi n$ -scatt.
- fig 4.20 pg 9: meting vld s-wave ( $l=0$ ) phase shift  $S$  toont dat  $0 \leq \delta < \pi/2 \Leftrightarrow$  geen bound states, zoals we al eerder zeiden.  
 $\Rightarrow \sin S > 0 \Leftrightarrow \alpha < 0 \Leftrightarrow$  geen bound states  
 n.-wecatie relatief klein??

### 4. Properties of the nuclear force

- centrale kracht:  $L$  (totaal orbital ang. mom.) bepaald niet-centrale kracht:  $L$  niet bewaard,  $J$  wel!  
 $\Rightarrow$  tensorpotentiaal  $S_{12} V(r)$  met  $S_{12} = 3(\vec{S}_1 \cdot \vec{r})(\vec{S}_2 \cdot \vec{r})/r^2 - \vec{S}_1 \cdot \vec{S}_2$   $V_C(r)$
- nucleon-nucleon interactie overheerst door attractieve centrale potentiaal
- is sterk spin-afhankelijk. O.m.v. time reversal invariance kunnen termen lineair in  $\vec{S}_1$  of  $\vec{S}_2$  niet voorkomen, maar  $\vec{S}_1^2$ ,  $\vec{S}_2^2$  en  $\vec{S}_1 \cdot \vec{S}_2$  wel.  
 $\Rightarrow$  term vld norm  $\vec{S}_1 \cdot \vec{S}_2 V_S(r)$ .  
 $\Rightarrow V_C(r)$  en  $V_S(r)$  sommen als  $V(r) = -\left(\frac{\vec{S}_1 \cdot \vec{S}_2}{r^2} - \frac{1}{4}\right)V_1(r) + \left(\frac{\vec{S}_1 \cdot \vec{S}_2}{r^2} + \frac{3}{4}\right)V_3(r)$   
 met  $V_1$  en  $V_3$  de singlet en triplet potentiaal  
 met  $\langle \vec{S}_1 \cdot \vec{S}_2 \rangle = -\frac{3}{4} \hbar$  voor  $S=0$  en  $+\frac{1}{4} \hbar$  voor  $S=1$

- is ~~overigens~~ ~~symmetrisch~~ bondsterommetrisch:  $pp = nn$  niet correctie v/d Coulombtermen

- is bijna bondsterommetrisch:  $pp \neq nn \approx pn$   
 er is een substantieel verschil in scattering length, maar dat kan al geïndiceerd worden door een klein (1%) verschil in  $\psi$  (zie fig 4.11 p103)

- is repulsief op een korte afstand: (fig 4.12 p103):  
 rond 300 MeV gaart  $\delta$  van positief naar negatief  $\Leftrightarrow$  vrom attractief naor repulsief effect

- is afhankelijk v/d relatieve snelheid/momentum v/d deellichaams:  
 termen eerste orde in  $\vec{p}$  zijn niet time-reversal-invariant  
 en ook  $\vec{r} \times \vec{p}$  of  $\vec{r} \cdot \vec{p}$  niet. Maar  $V(r) (\vec{r} \times \vec{p})^S$ -achtige potentiaal is wel time reversal en parity invariant  
 $\Rightarrow$  spin-orbit potentiaal term  $V_{so} l^2 S$

- Benigt v/d theorie?  $\rightarrow$  Bij scattering van nucleonen op een (kefischijf-)nucleon worden deze met parallelle spin omhoog ofwel  $\vec{l}$  gescatteerd, en die met omgekeerde parallelle onder- $\vec{l}$ .  
~~afzonderlijke~~ ~~afzonderlijke~~ ~~afzonderlijke~~

- het effect wordt sterker naarmate  $E$  en dus  $\vec{p}$  toeneemt, want het komt enkel voor als  $r \times \vec{p} = l > 0$  en dus niet voor  $S$ -spoor/orbitaal ( $l=0$ ) scattering

- stel invallend nucleon spin up en het tongt ook: definieer  $V_{so}(r) < 0$ . Geval 1 op fig. 4.14 p106 heeft  $l < 0$  en  $S > 0$   
 sodat  $V_{so}(r) \cdot l^2 S = - + > 0 \Rightarrow$  repulsief: afslagen naor links  
 Geval 2 heeft  $l > 0$  en  $S > 0 \Rightarrow$  attractief: afslagen naor links  
 analog: spin down bringt ook tijd naor rechts

## 5 Exchange force model

- doel: fysisch mechanisme postuleren voor de nucleon-nucleon interactie die de succesvolle potentiaLEN in fig 4.16 p107 bevat.
  - 2 hoofdargumenten pro: saturatie v/d kernkracht en  $180^\circ$  scattering.
  - saturatie v/d kernkracht: is ohridelijk als je ziet dat B/A nooit een constante waarde heeft (gemiddelde binding per nucleon)
    - Analogie met atomen die een moleculen constitueren:
    - madden elkaar totdat ze  $e^-$  beginnen uit te wisselen
    - $\rightarrow$  iets wordt als "uitgewisseld" tussen nucleonen ("exchangers")
  - Uit berekeningen vinden we slot bij pn-scattering kleine hoeken  $\Theta \approx 0^\circ$  waarde voor kernen, nadat fig. 4.17 p.109 voorzelt ook  $\Theta \approx 180^\circ$ ?!  $\rightarrow$  inkomend neutron "wisselt iets uit" met proton en wordt neutron, en scattert rustig onder  $\Theta \approx 0^\circ$ . Het oude proton wordt neutron, en in het centrum van massa blijft het alsof dit scattbare ongelijk  $\Theta \approx 180^\circ$ !

$\Omega \approx 0^\circ$  folgt  
mit momentanem  
Kumpling  $\frac{d\Omega}{dt} \approx 0$

- QFT segt dat de uitgewisselde dingen virtual partikels zijn:  
2-pion exchange verantwoordelijk voor nucleon binding ( $0,5 - 1 \text{ fm}$ ) en  $W$ -mesonen voor de "repulsieve kern potentiaal" en  $\rho$ -mesonen het spin-orbit gedachte ( $\sim 0,25 \text{ fm}$ ).
  - 2-pion exchange: en zijn 3  ~~$\pi\pi$~~   $\pi$ -mesonen  $\pi^-, \pi^0, \pi^+$ , maken opdorst bv.  $p^+ \rightarrow n^0 + \pi^+$  kunnen gebeuren, moet het proton eerst deelogen en daarna brengen door  $p^+ + n^0 \rightarrow p^+$ .  
Er bestaat ook een 1-pion exchange model.

## H5 | Nuclear models

- We willen inrichten en ideeën voor het vorige hoofdstuk overdragen op nucleaire kerren maar: het is mathematisch onhaalbaar om het meerdere-lichamenprobleem op te lossen zonder te hard te vereenvoudigen; en nucleonen interactueren niet alleen via 2-body forces maar ook 3-body forces! (geen klassiek analogie)
- We kunnen dat volgende doen: oversimplificerende modellen opstellen die mathematisch uit haalbaar is en rijk aan fysiek inzicht. Een goed model moet sowel alle eerder gevonden eigenschappen verklossen, als nieuwe inzichten ocombrengen.

### 1. Shell model geldig voor $A < 150$ en $190 < A < 220$

- We willen het atoommodel met orbitalen (voor  $e^-$ ) nabootsen, maar hier is geen "onafhankelijke kern": de nucleonen bewegen in een potentiaal die ze zelf creëren. Ook bewegen de  $e^-$  in de orbitalen zich op relatief grote afstand van elkaar en botsen niet, maar nucleonen zitten zo dicht bij elkaar dat ze wel merkbare kerren per "orbit" tegen elkaar kunnen botsen!?
- Experimenteel bewijs voor het model werd gevonden in nucleon separatie energies (fig 5.1 p 118) die telkens eerst geleidelijk oom stijgen en dan plots weer kelderen, waarin met  $A$  toeneemt. De  $A$ -waarden bij de dalingen zijn identiek voor  $n$  en  $p$ !
- Dit fenomeen correspondeert met het idee van nucleaire schillen.
- Ook het bestaan van orbitalen, wel bewezen in de ruimte, wordt ondersteund mede door het Pauli-principe: alle langste niveaus zijn op gevuld, dus als nucleonen willen botsen en energie overdragen, moet die hoog genoeg zijn om een nucleon helemaal naar het eerste niet-volledeel gevulde orbitaal te koptrektre. Botsingen zijn nooit energetisch gewey en kunnen dus niet voorkomen  $\Rightarrow$  nucleonen in een kern zijn transparant voor elkaar!

- Potential opm:  $n$  is niet het hoofdkwantumgetal, maar tellt voor # niveaus met die  $n$
- we moeten een potentiaal kiezen: overweeg infinite well en harm. oscill.
- degeneracy ( $n$  magic nummers) bij  $e^-$ -orbitalen is  $2 \cdot (2l+1)$  ( $m_s \otimes m_l$ ),
- (motor) zoals op fig. 5.4 p 121 loopt het voor onze potentiële als min toe (is o.w. in de graph, dus slechts indirect o.w.v. degeneracy) magic nummer 20
- model verbeteren: infinite well heeft te hoge nucleon separatie energy (nl.  $\infty$ ) en de norm v/d potentiaal is te scherp: de echte potentiaal  $\sim$  matige bladvormige vorming. Harm. oscill. heeft ook  $\infty$  sep. energy en hier is de vorm niet scherp genoeg.  $\Rightarrow$  tussenvorm:  $V(r) = -\frac{V_0}{1 + e^{(R-r)/a}}$  met  $R$  m of de gemiddelde straal en skin thickness.

shell: versch. van orbitalen (subshells), waar niet dezelfde  $n$  te hebben

- We krijgen echter nog steeds niet de goede magic nummers  
 $\rightarrow$  Spin-orbit term invullen, zoals bij atoomfysica (hier echter niet o.m. van oorsprong) om subshells verder op te splitsen.
- Het is homogener om de toestanden nu te labelen met  $j = l+1$ ; degeneracy  $(2j+1)$
- Belangrijke deel in  $V_{so}(r) \propto \vec{l} \cdot \vec{j}$  is  $\vec{l} \cdot \vec{j} = \frac{1}{2}(\vec{j}^2 - \vec{l}^2 - \vec{s}^2)$
- Effect: vbr  $1g$  ( $l=3 = \frac{5}{2}$ ) wordt gesplitst in een paar  $1g_{7/2}$  en  $1g_{5/2}$  -  $\left(\begin{array}{c} l=3, j=\frac{5}{2} \\ -\frac{5}{2}, \frac{3}{2}, \frac{1}{2} \end{array}\right)$   
Als  $V_{so}(r) < 0$  wordt toestand met hoogste  $j$  daarom ook gedrukt en vice versa, zie fig. 5.6 p 123.
- De magische getallen stroken nu niet het experiment, en zwe voorstellen zelfs een nieuw: 184.

EXTREME  
INDEPENDENT  
PARTICLE  
MODEL  
(EIPM)

- in de extreme limiet voorzelt het shell model dat de eigenschappen van kern in de ground state voorspeld worden door het odd nucleon (kernspin, parity). Dit bleek een groot succes!
- Magnetische dipoolmomenten
  - we houden sowel rekening met  $d_2$  als  $s_2$ ; we moeten namelijk  $\mu = \mu_N (\beta_d d_2 + \beta_s s_2) / \hbar$  kennen voor specifieke  $j_2 = j\pi$ .
  - $\langle \mu \rangle = \mu_N (\beta_d \langle d_2 \rangle + (\beta_s - \beta_d) \langle s_2 \rangle) / \hbar$
  - $\langle s_2 \rangle$  heeft slechts één waardevolle component; die volgt  $\langle s_2 \rangle = 1 \vec{S}_0^2 = 1 \vec{j}(\vec{s} \cdot \vec{j}) / j^2 = \dots$  (resultaten p 126)
  - experimentele waarden (fig. 5.9 p 127) zijn in grootte klein en staan de voorzeldre warden (Schmidt lijnen voor  $\beta_s = \beta_d$  free) en hebben vrij grote spreiding. Dat komt omdat  $\beta_s \approx 0,6 \beta_d$  free); de nucleonen zijn geen vrije deeltjes, en dat effect wordt toegewiesen aan de "meson cloud".

$Q < 0$ : obliquit  
 $Q > 0$ : polarant

- Elektrische quadrupoolmomenten

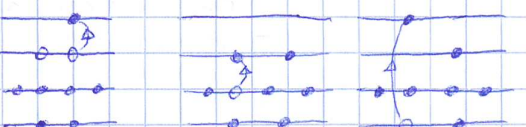
- $Q = \int \psi^* (3r^2 - \sigma^2) \psi dr$  evalueren: 1 proton in  $j$ -schil:
- $\langle Q_{sp} \rangle = - \frac{2j-1}{2(j+1)} \langle r^2 \rangle$ ;  $n$  protonen in  $j$ -schil:
- $\langle Q \rangle = [1 - 2 \frac{n-1}{2j-1}] \langle Q_{sp} \rangle$ . Neem  $\alpha_r, \langle Q_{sp} \rangle \approx -\langle r^2 \rangle$ , en met  $1 \leq n \leq 2j$  als  $n=2j$ :  $\langle Q \rangle = -\langle Q_{sp} \rangle \Rightarrow$  "gat".
- odd-neutron quadrupole momenten zijn kleiner, maar niet nul (zie fig. 5.10) volgens het experiment, wat de theorie niet voorspelt.
- de verdeling v/d quadrupole momenten blijkt ook niet symmetrisch rond nul te zijn, en ook enkele hoge waarden voor zware kerzen worden niet voorspeld.
- Conclusie: schillenmodel voorspelt bijna alle spins en gemitte van odd-A nuclei, sommige  $\mu$ , en sommige  $Q$ .

- Valence nucleons (geïnciteerde toestanden verklaren)

→ many-particle model:  
HOOFDSCHIL

- uit het EIPM volgt dat het odd nucleon de kern eigenschappen bepaalt.
- een algemeen model voorzelt ook afvijlende reden:  $\mu_N$  niet enkel odd nucleon, maar alle nucleonen in de laagste niet-gedelde SUBschil in uitleg brengen;
- Wanneer we energie toevoegen, blijft het binnele deel v/d kern intact, maar doen buiten tijdelijke excitaties mogelijk, zodat het finale odd nucleon niet het initiale heeft te zijn (of er zijn meerdere odd nucleons!).

VROEGER: NV OOK Br.:



## 2 Even-Even kernen en collectiviteit

(1)

- situatie: schil is bijna vol: om te exciteren moet men het proton in de hoogste subschil breken en helemaal naar de volgende schil brengen. Dit neigt te veel energie.
- oplossing: proton in een lagere subschil breken en daar een vrij gatje in de hoogste subschil brengen: kost  $\approx 2 \text{ MeV}$  voor  $^{130}\text{Sn}$ , en de geobserveerde excitaties zijn inderdaad van die grootte.
- $I^{\pi}$  is nu een koppeling tss het odd nucleon in de hoogste en die in de lagere subshell
- opmerking: de  $2^+$  state van  $^{130}\text{Sn}$  is te schijnbaar als superpositie van alle mogelijke toestanden die een  $2^+$  state geven. Zij liggen allen rond  $2 \text{ MeV}$ , en hoeft de resultante  $2^+$  state op  $1,2 \text{ MeV}$ ?  $\Rightarrow$  collectieve eigenschap, door het collectief gedrag van nucleonen elke klein blijkt een eigen  $2^+$  state te hebben.
- fig 5.15 en 16 p 137-8 tonen verschillende eigenschappen die collectief gedrag onthullen. En lijken twee categorieën te zijn:  
 $A < 150$  (gemiddeld sferisch, vibratiemodel) en  $150 < A < 190$  (niet-sferisch, collectieve nuclear model = "liquid drop model" rotaties)

E-levels  
even-odd

- Nuclear vibrations staan met figuur en tabel fig 5.15 en 16.

- gemiddelede vorm is sferisch, maar er kunnen multipoolvibraties optreden: monopool  $\lambda=0$  dipool  $\lambda=1$  quadrapool  $\lambda=2$  octupool  $\lambda=3$   
 en gebeurt niets netto rotaties



R(t, θ, φ)

$$\text{na sferisch harmonische beschrijft } R(t) = \langle R \rangle + \sum_{\lambda \geq 2} \sum_{\mu=-\lambda}^{\lambda} \alpha_{\lambda\mu}(t) Y_{\lambda\mu}(\theta, \phi)$$

de locatie volgt uit de rand. Analogie  $\lambda \leftrightarrow l$ ;  $m_l \leftrightarrow \mu$

- Stel: eenheid vibratiële energie (bij een quadrapool  $\lambda=2$  fonon) over de  $0^+$  grondtoestand van kern toevoegen  $\rightarrow 2^+$  state met 5 vibratiële toestanden in de  $2^+$  subshell. 2 fonon met  $\lambda=2$   
 toevoegen: 25 mogelijke toestanden ( $\mu = \mu_1 + \mu_2$ ), waarvan 15 niet-identieke ( $[\mu_1=0, \mu_2=2]$  en  $[\mu_1=2, \mu_2=0]$  niet te onderscheiden)  
 $\lambda=4$  heeft 9 mogelijkheden:  $l=2: 5$ ;  $l=0: 1$  na som = 15.
- fonon met  $\lambda=3$  heeft  $\pi = (-1)^{\lambda} = -1$  en dus  $0^+ \rightarrow 3^-$

E-levels  
heterodiatisch

- Nuclear rotations rotatie-as  $\neq$  symmetrie-as !!

R(θ, φ)  
as int!

- gemiddelede vorm is nu zelfs niet meer sferisch: deformed nuclei ook beschreven via sferisch harmonische:  $R(\theta, \phi) = \langle R \rangle (1 + \beta Y_{20}(\theta, \phi))$  met deformatietoegestand  $\beta = \frac{4}{3\sqrt{5}} \frac{\Delta R}{\langle R \rangle}$  met  $\Delta R =$  verschil van grote en kleine as vol ellipsoïde.

- $\beta > 0$ : polvat;  $\beta < 0$ : oblaat (fig. 5.20 p 143)

- relatie met intrinsieks quadrapoolmoment  $Q_0 = \frac{3}{\sqrt{5\pi}} \langle R \rangle^2 \beta (1 + 0,16\beta)$  daar alleen meetbaar is in een vastgestelde positie de kern stilstaat, anders wordt een andere waarde gemeten, nl.  $Q = Q_0 < 0 \Leftrightarrow Q > 0$

$$E = \frac{\hbar^2}{2I} I(I+1) \quad \text{"rotational energy" met inertiaal moment } I$$

I is altijd even voor de grondstate  $0^+$   
 van even-even核子 vanwege spiegelsymmetrie.

$$I_{\text{rigid}} = \frac{2}{5} M \langle R \rangle^2 (1 + 0,3\beta)$$

$$I_{\text{fluid}} = \frac{9}{8\pi} M \langle R \rangle^2 \beta$$

"adiabatisch"

- 2 extreme gevallen:  $I_{\text{rigid}}$  voor rigide ellipsoïde,  $I_{\text{fluid}}$  voor ellipsoïde gevuld met vloeistof. Uit energieniveaus blijkt  $I_{\text{rigid}} > I > I_{\text{fluid}}$ .
- Wanneer nu  $V_{\text{ext}} \approx 0,002c$ ;  $V_{\text{int}} \approx 0,2c \Rightarrow$  nucleonen ervaren kern als stilstaand !!

- vibraties en rotaties leveren een bijzondere vorm moment (vrije protonen: fractie  $Z/A$ ) :  $M(I) = I \frac{Z}{A} \mu_N$  met  $I$  het omsluitend moment v/d toestand (kanonin?)  
lichte kernnen:  $Z/A \approx 0,5 \Rightarrow \mu = \mu_N$   
zware " :  $Z/A \approx 0,4 \Rightarrow \mu = 0,8 \mu_N$
- $\gamma$ -vibraties  $\perp$   $\beta$ -vibraties verbreken cilindersymmetrie
- Kwast-lijn: die notities  $> 25$ . Iets met n afslangen en bepaalde spins slechts voorbij bepaalde E.

### 3) More realistic nuclear models

- shell model voor odd A-nuclei en collective model voor even-even spin toestanden. Er bestaat een complexe unified nuclear model waarmee we nu resultante eigenschappen kunnen kiezen in verband te brengen met ideeën die ook bij shell en collective model passen.
- Many-particle shell model
  - ipr. het E1PM of het valence nucleons model bij odd-A nuclei, beschouwen we nu alle nucleonen in de kruistte niet-pairde HOOFDschil ( $\leftrightarrow$  SUBschil bij valence nucleons)
  - Als alle "valence" partikels onafhankelijk zijn, hangt E niet af van m en hebben wegevolg alle  $I$ 's dezelfde E.
  - Dit is duidelijk niet waar  $\rightarrow$  residual interaction.
  - notatie  $(f_{7/2})^n$ : configuratie met n deeltjes in de  $f_{7/2}$  subshell. Zullen deeltjes del然 allomd  $\mu \sim I$  : beschouw twee verschillende toestanden in dezelfde configuratie:  $\frac{\mu_1}{\mu_2} = \frac{I_1}{I_2}$

### Single-particle states in deformed nuclei

- voor  $150 < A < 190$  en  $A > 130$  moeten we een shell model gebruiken, aangepast aan de "rotatiële ellipsoïde" vorm.
- in een nonaffine potentiaal zullen de toestanden een mengeling van l-waarden hervatten: l een poed kwantumgetal meer, ~~met~~ (ziechotrope de spdf-notatie niet meer mogelijk)
- $\Psi'(\Omega) = \sum_l \alpha_l(Nlj) \Psi_{Nlj}$  met N de oscillatorschil;  $\pi = (-1)^N$

- Energieniveaus hangen af van de component van  $\vec{j}$  langs de symmetrie-as v/d kern, en dus de reële oriëntatie v/d orbit.

- Diele component heet  $S_2$ . fig 5.26 p 152: intratuat v/d orbit met de kern is groot als  $S_2$  groot (oblat) / klein (prolat) is.
- We onderstellen dat toestanden uit verschillende grote oscillatorschillen (~hoofdschillen) niet mengen. vb: de  $S_2 = \frac{5}{2}^-$  toestand die  $2f_{7/2}$  zoudt als  $\beta \rightarrow 0$  krijgt enkel trijehoige v/d toestanden in de 5<sup>e</sup> oscillatorschil (met  $j \geq S_2$  natuurlijk):  $2f_{5/2}, 2f_{7/2}, 1h_{3/2}, 1h_{11/2}$ . De 4<sup>e</sup> en 6<sup>e</sup> schil mengen niet want hebben  $\pi = +$ , en de anderen liggen al te ver weg.
- grondtoestand v/d rotatiële vorm heeft  $I = S_2$ , daarmee  $\ell$  kan  $+1$  en  $-1$ .

- odd-A, deformed nuclei structuur bepaald door single particle states bepaald door deformed shell model.

Nilsson schemer p 155 fig 5.23: door deformatie ~~van~~ worden orbitals opgesplitst en vermengd  $\Rightarrow$  nieuwe magic numbers!

$(-1)^N$	$5 -$	$g_{9/2}$
"	$4 +$	$d_{5/2}$
$3 -$	$g_{7/2}$	
$2 +$	$d_{3/2}$	
$1 -$	$p_{1/2}$	
$0 +$	$d_{5/2}$	